

第八章 **Mathematica**在量子力学 中的应用举例

Mathematica 特点



Mathematica: 以 C语言写成的计算机符号处理系统

特点:

集强大的 符号运算、任意精度的数值计算、图形显示功能于一身

工作方式:

交互式（以用户与系统之间作信息与数据的交流方式完成计算）

批处理（以运行程序和程序包的方式完成计算）

计算机符号系统在物理中的运用



计算机符号系统在物理中的运用：(往往是数学建模中的重要工具)

- (1) 作为工具包，完成大量重复而耗时的运算；
- (2) 作为快速而准确的推导公式的工具，提高工作效率；
- (3) 利用系统的图形功能，帮助人们直观地理解运算结果，建立物理图象。

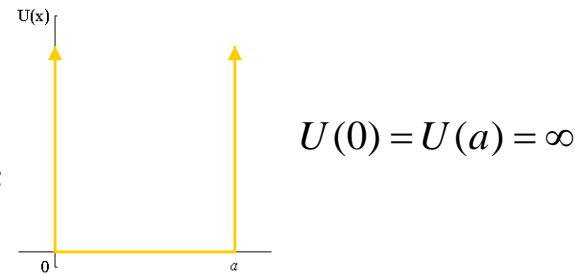
工作流程：

- (1) 分析要研究的物理对象的特点，进行数学推导，给出易于编程的数学形式；
- (2) 结合数学形式，采用相应的计算方法；编程；运算；
- (3) 分析运算结果，研究运算的效率，并从物理特性判断运算的正确性，改进算法；
- (4) 再编程，再运算。最后形成一个封装的软件包。

8.0节：在量子力学中运用例子— 一维无限深方势阱

Mathematica 已经在很多领域得到运用。本节用一个量子力学中的经典问题来演示运用Mathematica的方法及过程。

一个粒子在无限深方势阱中，其势函数的图示为：



粒子在势阱中满足薛定谔方程为： $\frac{\partial^2 \psi(x)}{\partial^2 x} = -k^2 \psi(x)$ 边界条件： $\psi(0) = \psi(a) = 0$
 其中： $k^2 = \frac{2mE}{\hbar^2}$

求解薛定谔方程： `$\psi[x] /. DSolve[\psi''[x] == -k^2 \psi[x], \psi[x], x][[1]] /. \{C[2] \to B, C[1] \to A\}$`

得到方程的解： $B \cos[kx] + A \sin[kx]$ 考虑在 $x=0$ 处的边界条件得 $B=0$

在 $x=a$ 处： $\psi(a) = A \sin(k a) = 0$ 此式在 $ka = n\pi \Rightarrow k_n = \frac{n\pi}{a}$ 成立。

解之： `$genresult[n_, a_, x_] = \psi[x] /. DSolve[\{\psi''[x] == -k^2 \psi[x], \psi[0] == 0\}, \psi[x], x][[1]] /. \{C[1] \to A, k \to n\pi / a\}$`

得到： $A \sin\left[\frac{n\pi x}{a}\right]$

8.0节：在量子力学中运用例子— 一维无限深方势阱

利用归一化条件求得系数A: $\int_{-\infty}^{\infty} \psi^2(x) dx = \int_0^a \psi^2(x) dx = 1$ 对波函数积分:

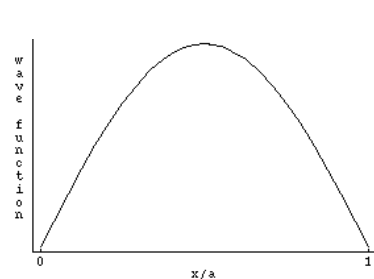
$a\text{int} = \text{FullSimplify} [\text{Integrate} [\text{genresult}[n,a,x]^2, \{x,0,a\}], n \in \text{Integers}]$ 得到: $\frac{A^2 a}{2}$

令积分值等于1, $a\text{norm} = A /. \text{Solve}[a\text{int} == 1, A][[2]]$ 求得A: $\frac{\sqrt{2}}{\sqrt{a}}$

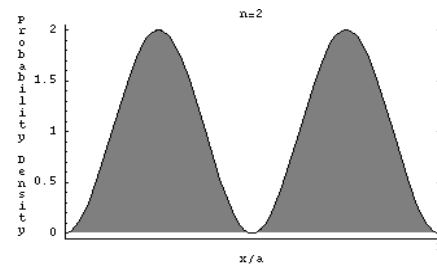
代入A值, 得到波函数: $\psi[n_, a_, x_] = \text{genresult}[n, a, x] /. A \rightarrow \text{norm}$

波函数为: $\frac{\sqrt{2} \sin[\frac{n\pi x}{a}]}{\sqrt{a}}$

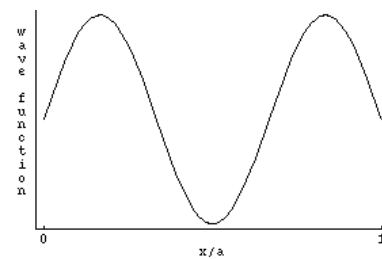
封装后, 就可以得到一个计算无限深方势阱中粒子的波函数的工具包。



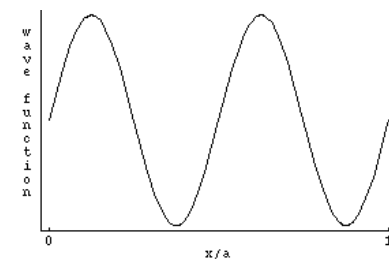
a=1,n=1



a=1,n=2



a=1,n=3



a=1,n=4

8.1 节：在量子力学中运用例子— 中心力场中的运动问题

(运用于原子结构, 原子核结构等研究)

设电子与原子核的约化质量为 $\mu = \frac{m_e M}{m_e + M}$

(由于原子核质量 M 远大于电子的质量 m_e , 因而 $\mu \approx m_e$)

球对称的中心力场势函数为 $V(r) = -\frac{Ze^2}{r}$

系统的哈密顿量: $\hat{H} = \frac{\hbar^2 \hat{p}^2}{2\mu} + V(\hat{r}) = -\frac{\hbar^2 \nabla^2}{2\mu} + V(r)$ (8.1.1)

其中 r 为粒子所处的空间位置到中心势原点的距离。

与中心力场相关的基本理论:

薛定谔方程: $i\hbar \frac{\partial}{\partial t} \psi = \hat{H} \psi$ 能量本征方程: $\left[\frac{-\hbar^2}{2\mu} \nabla^2 + V(r) \right] \psi = E \psi$

中心力场中的运动问题（相关的基本理论）

利用中心势的球对称性，薛定谔方程写为在球坐标中的表示为

$$-\frac{\hbar^2}{2\mu r^2} \left[\frac{\partial}{\partial r} \left(r^2 \frac{\partial}{\partial r} \right) + \left(\frac{1}{\sin \theta} \frac{\partial}{\partial \theta} \left(\sin \theta \frac{\partial}{\partial \theta} \right) + \frac{1}{\sin^2 \theta} \frac{\partial^2}{\partial \varphi^2} \right) \right] \psi(r, \theta, \varphi) = (E - V(r)) \psi(r, \theta, \varphi) \quad (8.1.2)$$

在求解中心力场作用下粒子的能量本征方程时， $(\hat{H}, \hat{L}^2, \hat{L}_z)$ 构成对易算符的一个完全集，因而选择它们为力学量完全集是很方便的。相应的本征值问题的解就完全决定了系统的特性。

利用角动量守恒的性质，将三维的薛定谔方程的求解化为一维的微分方程求解。利用公式

$$\Delta \equiv \nabla^2 = \frac{1}{r^2} \left[\frac{\partial}{\partial r} \left(r^2 \frac{\partial}{\partial r} \right) - \frac{\hat{L}^2}{\hbar^2} \right] \quad (8.1.3)$$

其中在球坐标中的角动量平方算符可以表示为：

$$\hat{L}^2 = -\hbar^2 \left\{ \frac{1}{\sin \theta} \frac{\partial}{\partial \theta} \left(\sin \theta \frac{\partial}{\partial \theta} \right) + \frac{1}{\sin^2 \theta} \frac{\partial^2}{\partial \varphi^2} \right\} \quad (8.1.4)$$

中心力场中的运动问题（相关的基本理论）

薛定谔方程(8.1.2)则可以写为

$$-\frac{\hbar^2}{2\mu r^2} \left[\frac{\partial}{\partial r} \left(r^2 \frac{\partial}{\partial r} \right) - \frac{\hat{L}^2}{\hbar^2} \right] \psi(r, \theta, \varphi) = (E - V) \psi(r, \theta, \varphi) \quad (8.1.5)$$

波函数 $\psi(r, \theta, \varphi)$ 与极角 θ ($-\pi/2 \leq \theta \leq \pi/2$) 和方位角 φ ($0 \leq \varphi \leq \pi$) 的关联是由算符 \hat{L}^2 和 \hat{L}_z 决定。

假定满足薛定谔方程的本征波函数 $\psi(r, \theta, \varphi)$ 可以分离变量表示为

$$\psi(r, \theta, \varphi) \equiv R(r)Y(\theta, \varphi) \equiv R(r)\Theta(\vartheta)\Phi(\varphi) \quad (8.1.6)$$

其中 \hat{L}_z 在球坐标系中可以表示为： $\hat{L}_z = -i\hbar \frac{\partial}{\partial \varphi}$ ，该算符的本征值由求解本征方程

$$-i\hbar \frac{\partial}{\partial \varphi} \Phi(\varphi) = L_z \Phi(\varphi) \quad (8.1.7)$$

其解为 $\Phi(\varphi) = Ae^{iL_z\varphi/\hbar} \quad (8.1.8)$

中心力场中的运动问题（相关的基本理论）

由于 (8.1.8) 式所示波函数解必须唯一确定，因而它也必定满足条件：

$\Phi(\varphi) = \Phi(2\pi + \varphi)$ ，并且角动量算符 \hat{L}_z 的本征值应当是离散的，其本征值表示为：

$L_z = m\hbar$, ($m = 0, \pm 1, \pm 2, \dots$). 方程 (8.1.7) 归一化的解可以写为

$$\Phi(\varphi) = \frac{1}{\sqrt{2\pi}} e^{im\varphi} \quad (8.1.9)$$

另一个守恒量-角动量平方，其本征方程为：

$$\hat{L}^2 Y(\theta, \varphi) = -\hbar^2 \left\{ \frac{1}{\sin \theta} \frac{\partial}{\partial \theta} \left(\sin \theta \frac{\partial}{\partial \theta} \right) + \frac{1}{\sin^2 \theta} \frac{\partial^2}{\partial \varphi^2} \right\} Y(\theta, \varphi) = L^2 Y(\theta, \varphi) \quad (8.1.10)$$

方程(8.1.10)的解是球谐函数 $Y_{l,m}$ 。如果本征值满足 $L^2 = l(l+1)\hbar^2$ ，方程改写为

$$\left\{ \frac{1}{\sin \theta} \frac{\partial}{\partial \theta} \left(\sin \theta \frac{\partial}{\partial \theta} \right) + \frac{1}{\sin^2 \theta} \frac{\partial^2}{\partial \varphi^2} + l(l+1) \right\} Y_{l,m}(\theta, \varphi) = 0 \quad (8.1.11)$$

中心力场中的运动问题（相关的基本理论）

对磁量子数 m 为正时的情况，球谐函数的完整表达式为

$$Y_{l,m}(\theta, \varphi) = (-1)^m \sqrt{\frac{(l-m)! (2l+1)}{(l+m)! 4\pi}} P_l^m(\cos \theta) e^{im\varphi} \quad (8.1.12)$$

其中 $P_l^m(x)$ 为 l 阶的第 m 个伴随勒让德函数。如果磁量子数为负时 $(-|m|)$,

$$Y_{l,-|m|}(\theta, \varphi) = (-1)^{|m|} \frac{(l-|m|)!}{(l+|m|)!} Y_{l,|m|}^*(\theta, \varphi) \quad (8.1.13)$$

角动量算符 \hat{L}^2 作用在球谐函数 $Y_{l,m}$ 上的本征值由角量子数 $l = 0, 1, 2, \dots$ 决定。对应于确定的角量子数 l ，算符 \hat{L}^2 的本征值则为 $l(l+1)\hbar^2$ ，此时磁量子数 m 则描写该角动量在 Z 轴上的投影，它的取值范围为： $m = 0, \pm 1, \pm 2, \dots, \pm l$ 既对确定的角动量量子数 l ，应当有 $2l+1$ 个本征函数 $Y_{l,m}$ 。

且：

$$\hat{L}_z Y_{l,m} \equiv -i\hbar \frac{\partial}{\partial \varphi} Y_{l,m} = m\hbar Y_{l,m} \quad (8.1.14)$$

中心力场中的运动问题（相关的基本理论）

分离变量后，本征波函数 $\psi(r, \theta, \varphi)$ 表示中的径向部分 $R(r)$ 满足方程：

$$\frac{d^2 R}{dr^2} + \frac{2}{r} \frac{dR}{dr} + \left\{ \frac{2\mu}{\hbar^2} \left[E + \frac{Ze^2}{r} \right] - \frac{l(l+1)}{r^2} \right\} R = 0 \quad (8.1.15)$$

（已代入中心势的表达式），其中， Z 为原子核所带正电荷数，对于氢原子 $Z = 1$ 。

以氢原子为例进行分析，定义波尔半径 $a_0 = \frac{\hbar^2}{m_e e^2} \approx 5.29 \times 10^{-11} m$ 为长度单位，即 $\rho = r/a_0$ ；以氢原子的电离能量 $E_0 = \frac{e^2}{2a_0} = \frac{m_e e^4}{\hbar^4} \approx 13.5 eV$ 为能量单位，即 $\varepsilon = E/E_0$

定义径向函数 $R(\rho) = u(\rho)/\rho$ 。这时方程(8.1.15)写为

$$\frac{d^2 u(\rho)}{d\rho^2} + \left[\varepsilon + \frac{2Z}{\rho} - \frac{l(l+1)}{\rho^2} \right] u(\rho) = 0 \quad (8.1.16)$$

能量 ε 的值是由方程(8.1.16)的本征值和本征函数决定的。

中心力场中的运动问题（相关的基本理论）

考虑稳定状态（束缚态），即 $\varepsilon < 0$ 的状态。通过考察 $u(\rho)$ 在 $r \rightarrow 0$ 和 $r \rightarrow \infty$ 时的极限行为，发现由波函数的么正性条件要求

$$u(\rho) = \rho^{l+1} e^{-\gamma\rho} f_l(\rho) \quad (8.1.17)$$

将(8.1.17)式代入(8.1.16)后，求解得到超几何函数 (${}_1F_1$) 形式的解

$$f_l(\rho) = c_1 F_1 \left(l+1 - \frac{Z}{\gamma}, 2l+2; 2\gamma\rho \right) \quad (8.1.18)$$

其中 $\gamma \equiv \sqrt{-\varepsilon}$ 。由式(8.1.17)得到电子在库仑势中的波函数的径向部分为

$$R(\rho) = N_{n,l} \rho^l e^{-Z\rho/n} {}_1F_1 \left(l+1-n, 2l+2; \frac{2Z}{n} \rho \right) \quad (8.1.19)$$

中心力场中的运动问题（相关的基本理论）

由于归一化条件的要求，(8.1.18)的级数表示必须只有有限项。这个限制给出

$$n_r = -\left(l + 1 - \frac{Z}{\gamma}\right), \quad (n_r = 0, 1, 2, \dots) \quad (8.1.20)$$

由此得到

$$\gamma = \frac{Z}{n_r + l + 1} \quad (8.1.21)$$

能量的值

$$E = -\frac{E_0 Z^2}{(n_r + l + 1)^2} = -\frac{E_0 Z^2}{n^2} \quad (8.1.22)$$

其中 n 为主量子数 ($n = 1, 2, \dots$)。它是由径向量子数 n_r ($n_r = 0, 1, 2, \dots$)

和轨道角动量量子数 l ($l = 0, 1, 2, \dots$) 决定的。

中心力场中的运动问题（相关的基本理论）

拉盖尔(Laguerre)多项式：特殊正交多项式 $L_k^{(\gamma)}$
(一种应用是利用其正交性作为试探波函数)

拉盖尔多项式由级数定义为 $L_k^{(\gamma)}(x) = \sum_{j=0}^k (-1)^j \binom{k+\gamma}{k-j} \frac{x^j}{j!}$

相应的归一化为 $\int_0^{\infty} dx x^{\gamma} \exp(-x) L_k^{(\gamma)}(x) L_{k'}^{(\gamma)}(x) = \frac{\Gamma(\gamma+k+1)}{k!} \delta_{kk'}$

超几何函数与拉盖尔多项式间有如下关系式

$$L_n^{(\alpha)}(x) = \frac{\Gamma(n+\alpha+1)}{n! \Gamma(1+\alpha)} {}_1F_1(-n, \alpha+1; x)$$

中心力场中的运动问题（相关的基本理论）

这样电子在库仑势中的波函数的径向部分的解也可以写为

$$R(\rho) = N'_{n,l} \rho^l e^{-Z\rho/n} L_{n+l}^{(2l+1)} \left(\frac{2Z}{n} \rho \right) \quad (8.1.23)$$

相应的电子总波函数为

$$\psi_{n,l,m}(\rho, \theta, \varphi) = N_{n,l} \rho^l e^{-Z\rho/n} {}_1F_1 \left(l+1-n, 2l+2; \frac{2Z}{n} \rho \right) Y_{l,m}(\theta, \varphi) \quad (8.1.24)$$

在(8.1.19)和(8.1.24)式中的归一化常数为

$$N_{n,l} = \frac{1}{(2l+1)!} \sqrt{\frac{(n+l)!}{2n(n-l-1)!}} \left(\frac{2Z}{n} \right)^{l+3/2} \quad (8.1.25)$$

中心力场中的运动问题（类氢原子库仑势软件包）



在Mathematica系统中拉盖尔多项式表述为**LaguerreL[]**；超几何函数 $({}_1F_1)$ 表述为**Hypergeometric1F1[]**。

下面例子中的程序包**Coulombp.m**提供了电子在类氢原子库仑势中的本征波函数，以及该波函数在球坐标下的径向部分和角度关联部分的表示。

本征波函数、径向波函数部分和角度关联波函数部分分别用Mathematica函数定义为**WaveF[]**、**WaveR[]**和**WaveA[]**。

它们的数学表示分别来自公式(8.1.24)、(8.1.19)和(8.1.12)。

它们用Mathematica V3.0语言的定义表述如下：

中心力场中的运动问题（类氢原子库仑势软件包）

Mathematica Package file Coulombp.m

```
BeginPackage["CoulombPotential"]
```

```
Clear[WaveF, WaveR, WaveA];
```

```
WaveF::usage = "WaveF[Z_, r_, theta_, phi_, n_, l_, m_] "
```

计算电子在库仑势中本征波函数的表示。

Z 为原子核的电荷数. r为电子到中心势原点的距离. theta 和 phi 为球坐标中的角度. n, l和 m为能量和角动量算符的量子数。 "

```
WaveR::usage = "WaveR[Z_, r_, n_, l_] "
```

计算电子在库仑势中的本征波函数径向部分的表示。

Z 为原子核的电荷数. r为电子到中心势原点的距离.
n和 l为能量和角动量算符的量子数。 "

```
WaveA::usage = "WaveA[theta_, phi_, l_, m_] "
```

计算电子在库仑势中本征波函数的角度关联部分表示。

theta 和 phi 为球坐标中的角度. l 和 m 表示角动量算符的量子数。 "

中心力场中的运动问题（类氢原子库仑势软件包）

```
(* --- 定义公共变量 --- *)  
  
r::usage  
n::usage  
l::usage  
m::usage  
theta::usage  
phi::usage  
  
Begin["Private"]  
  
(* --- 产生库仑势中波函数的径向部分 --- *)  
WaveR[Z_, r_, n_, l_] := Module[{unit, tmp},  
  
    (* --- 归一化常数 --- *)  
    unit = (Sqrt[(n + l)!/(2 n (n - l - 1)!)] ((2 Z)/n)^(l + 3/2)) / (2 l + 1)!;
```

中心力场中的运动问题（类氢原子库仑势软件包）

```
(* --- 产生波函数径向部分的定义 --- *)
tmp = unit r^l Exp[-((Z r)/n)]
      Hypergeometric1F1[l + 1 - n, 2 l + 2, (2 Z r)/n] ]

(* --- 产生库仑势中本征波函数的角度相关部分 --- *)
WaveA[theta_, phi_, l_, m_] :=
  Module[{tmp},
tmp = SphericalHarmonicY[l, m, theta, phi] ]

(* -- 产生电子在库仑势中的本征波函数 --- *)
WaveF[Z_, r_, theta_, phi_, n_, l_, m_] := Module[{tmp},
  tmp = WaveR[Z, r, n, l] WaveA[theta, phi, l, m] ]

End[ ]
EndPackage[ ]
```

中心力场中的运动问题（类氢原子库仑势软件包）

分析电子在原子核的库仑势中的本征波函数特性：

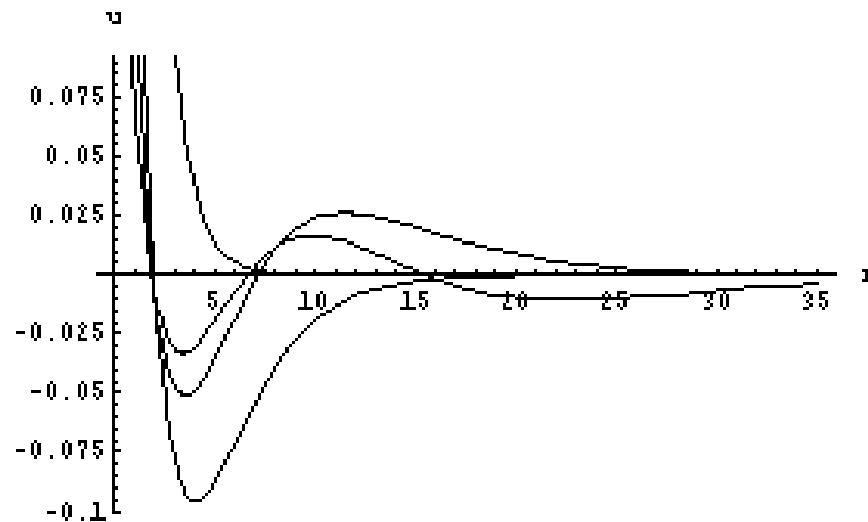
首先调入程序包**Coulombp.m**，然后调用程序包中定义的函数。
例如通过运行下面的指令：

```
-----  
      << Coulombp.m  
Plot[WaveR[1,r,1,0],WaveR[1,r,2,0],WaveR[1,r,3,0],WaveR[1,r,4,0],  
      {r,0,35},AxesLabel->"r","u",Prolog->Thickness[0.001]]  
      (*Figure 1*)  
  
      Plot[Abs[WaveA[theta,Pi/2,2,1]]^2, {theta,0,Pi},  
      AxesLabel->"theta","Y",Prolog->Thickness[0.001]]  
      (*Figure 2*)  
  
Plot3D[Abs[WaveF[1,r,theta,Pi/2,3,2,2]]^2,{r,0,15},{theta,0,Pi},  
      Lighting->True]  
      (*Figure 3*)  
-----
```

中心力场中的运动问题（类氢原子库仑势软件包）

```
Plot[WaveR[1,r,1,0],WaveR[1,r,2,0],WaveR[1,r,3,0],WaveR[1,r,4,0],  
{r,0,35},AxesLabel->"r","u",Prolog->Thickness[0.001]]
```

Figure 1: $Z = 1$, $l = 0$, $n = 1, 2, 3, 4$ 时的本征波函数径向部分的四条曲线

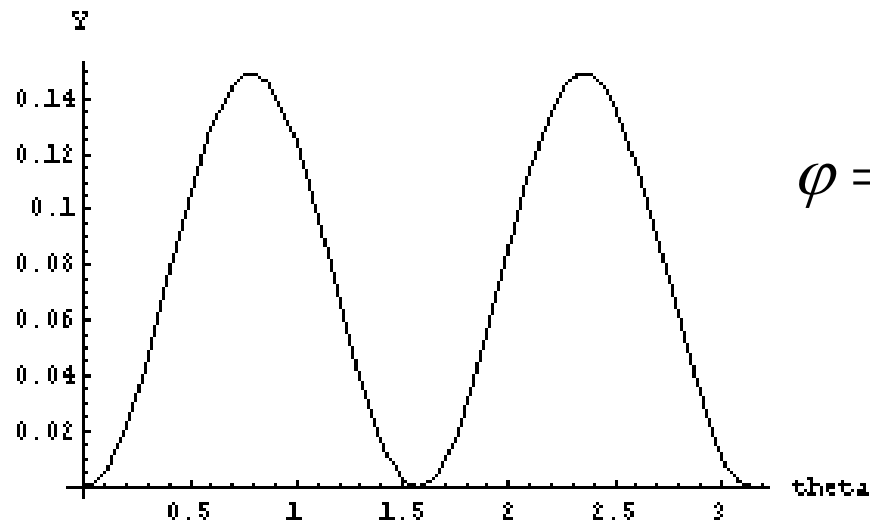


它们分别在 r （以波尔半径为单位）方向有 0, 1, 2, 3 个节点 $n_r = n - l - 1$

中心力场中的运动问题（类氢原子库仑势软件包）

```
Plot[Abs[WaveA[theta,Pi/2,2,1]]^2, {theta,0,Pi},  
      AxesLabel->"theta","Y",Prolog->Thickness[0.001]]
```

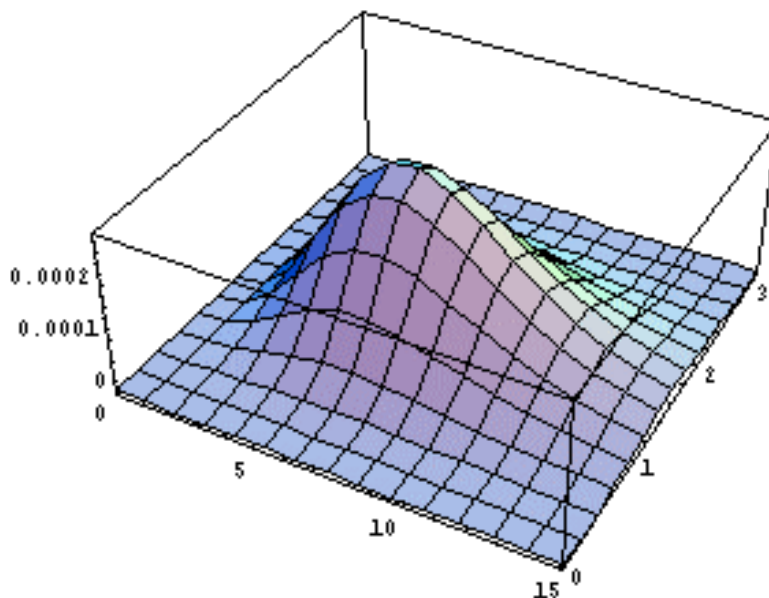
Figure 2: 本征波函数角度关联部分绝对值平方随极角 θ 变化的曲线。



中心力场中的运动问题（类氢原子库仑势软件包）

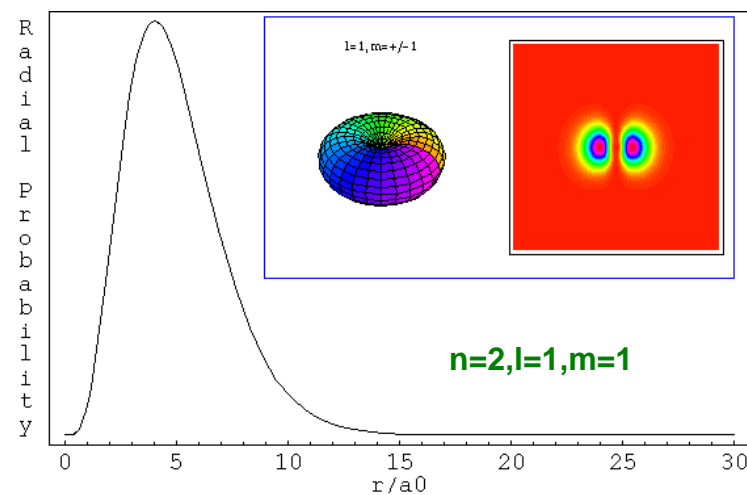
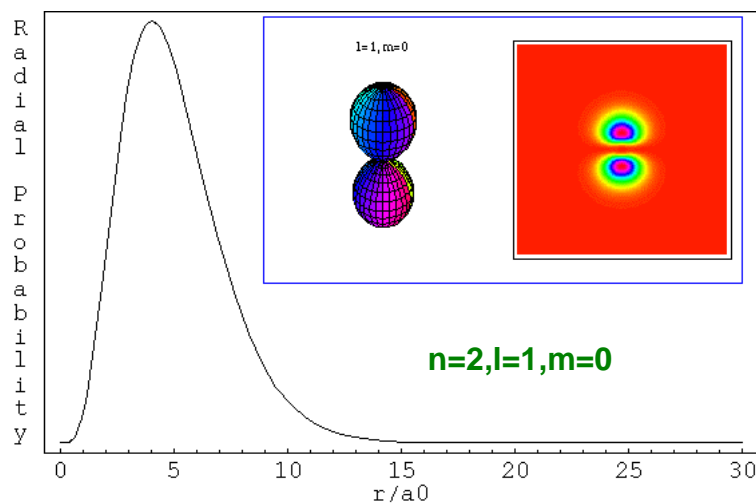
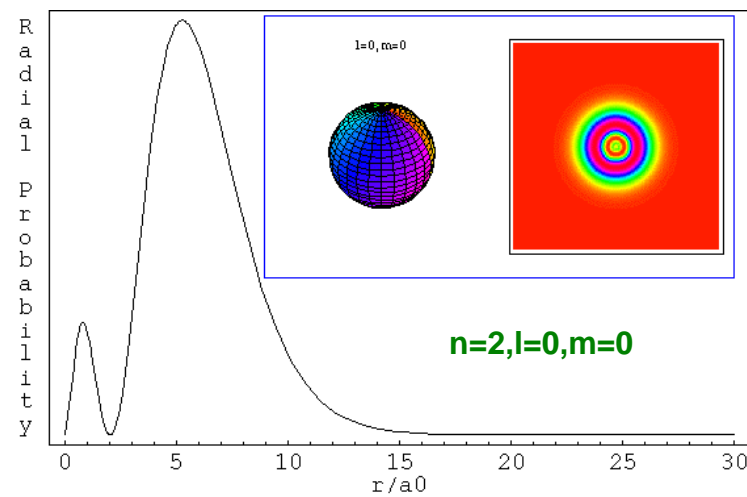
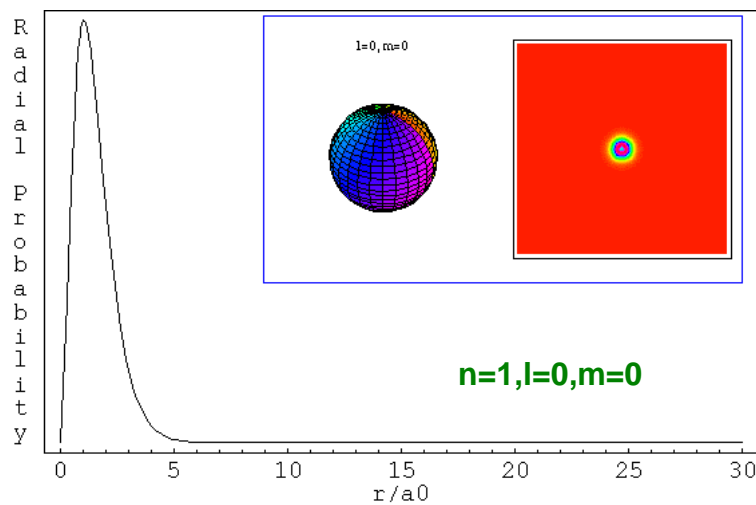
```
Plot3D[Abs[WaveF[1,r,theta,Pi/2,3,2,2]]^2,{r,0,15},{theta,0,Pi},Lighting->True]
```

Figure 3: 为 $\varphi = \pi/2$, $n = 3$, $l = 2$, $m = 2$ 时, 本征波函数绝对值平方随 r 和极角 θ 变化的三维曲线。 $r \in [0, 15]$, $\theta \in [0, \pi]$



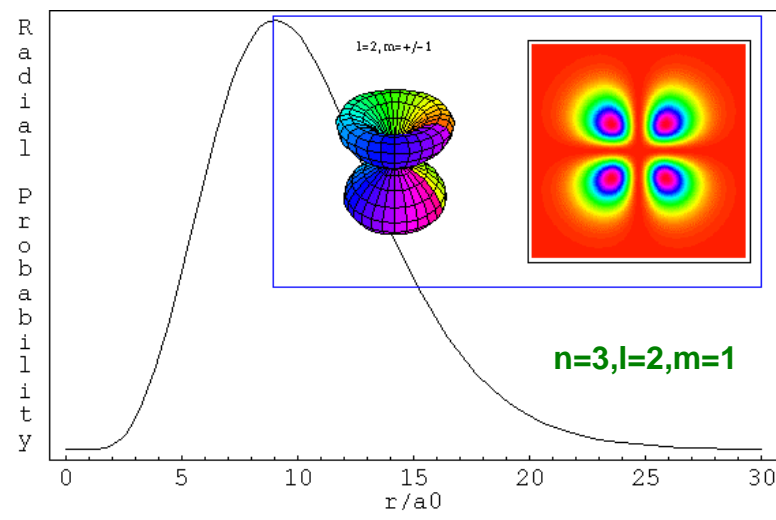
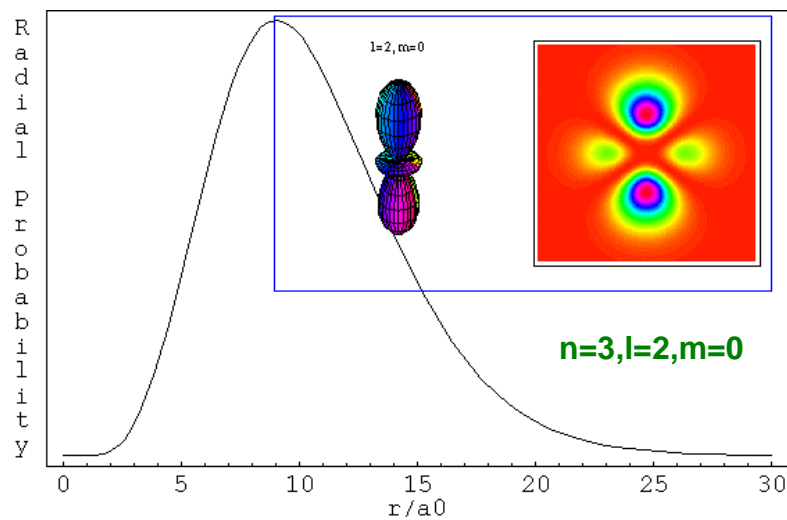
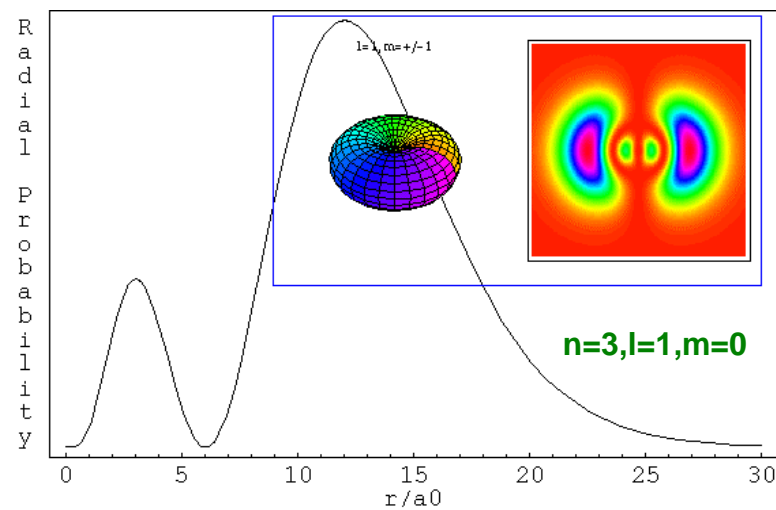
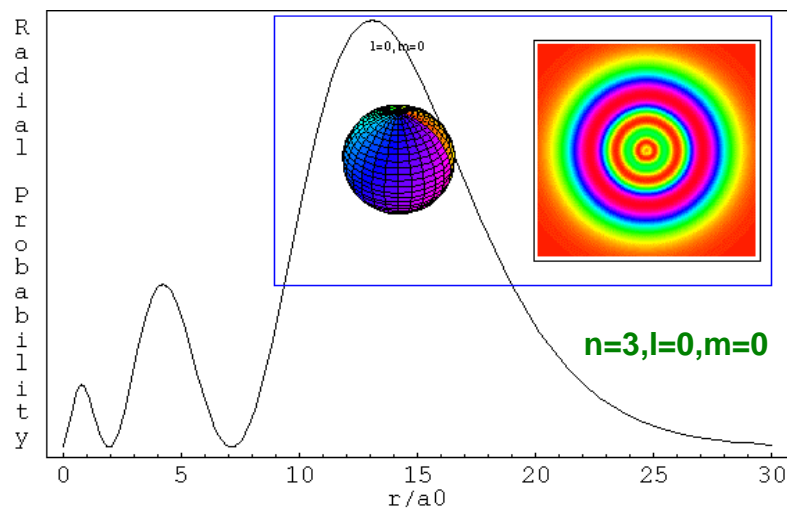
中心力场中的运动问题（类氢原子库仑势软件包）

氢原子中电子随半径分布的概率密度：



中心力场中的运动问题（类氢原子库仑势软件包）

氢原子中电子随半径分布的概率密度：



中心力场中的运动问题（类氢原子库仑势软件包）

氢原子中电子随半径分布的概率密度：

